

UDC 669.187.26 : 669.046.582.5 : 532.61.082 : 531.75.082

論 文

アルカリ金属およびアルカリ土類金属フッ化物融体の密度 および表面張力の測定*

荻野和巳**・原茂太***

Measurements on the Densities and the Surface Tensions of
Molten Alkali Metal and Alkali-Earth Metal Fluorides

Kazumi OGINO and Shigeta HARA

Synopsis:

Densities and surface tensions of molten alkali metal and alkali earth metal fluorides were measured by Archimedean method and maximum bubble pressure method, respectively. The results showed that the properties of the fluorides, such as surface tension, temperature coefficient of surface tension and coefficient of thermal expansion, depended on the Coulomb force experienced by foreign ions. Isothermal compressibility and coefficient of thermal expansion of fluorides calculated by application of the scaled particle theory, developed by H. REISS, agreed well with the experimental results. From the relation between surface tension and molar volume, it has been supposed that structure of liquid surface is similar to that of solid cleavage plane.

1. 緒 言

近年エレクトロスラグ精錬(ESR)用フラックスとして種々のフッ化物を主成分としたスラグが使用され、また連続鋳造用、スラグ処理用のフラックスに対する添加物としてフッ化物の重要性は増大している。しかし、その基礎となる純フッ化物融体の性質に関する知見は非常に限られていて、また得られた性質に関する測定値も研究者によつて著しい差異が見られる。これはフッ化物融体は反応性に富み、また測定が高温であることに起因している。そこで本報では ESR 用フラックスの性質に関する基礎的研究の一部として実用的にも重要なアルカリ金属およびアルカリ土類金属フッ化物融体の密度および表面張力を精度よく決定するとともに、その結果からフッ化物融体の特性を考察した。

2. 実 験

2.1 密度測定

密度の測定にはアルキメデス法を採用した。この場合吊線に働く表面張力の寄与は同一直径の白金線を用いて大小 2 つの白金球に働く浮力差を求める方法いわゆる 2

球法を用いて除去した。吊線としては 0.5 mm ϕ の白金線、シンカーとしては約 0.2cc および 0.7cc の白金球を用いた。その体積は密度既知のイオン交換水（その密度は実験ごとに体積 10.00cc の石英球の浮力測定によつて決めた）を用いて決定した。白金球および吊線の体膨脹率としては文献に報告された値¹⁾を採用した。

2.2 表面張力の測定

表面張力の測定には最大泡圧法を採用した。気泡の生成には純度 99.999% 以上の超高純度アルゴンガスを使用し、気泡の生成速度は予備実験によつて毎分 1 個程度と定めた。気泡の生成には内径 1.0~1.6 mm ϕ の白金も毛細管を使用したが、この範囲では内径の差異による表面張力の相違は認められなかつた。白金とフッ化物融体とはよく濡れるので、気泡の生成は白金毛細管の内径によつて規制されていると考えられる。最大泡圧法では毛細管を浸漬する深さを変えることによつて表面張力と密度とを同時に測定できる。そこで浸漬深さを 0~8 mm の間で変化させて密度の測定も行なつた。その結果は後述するように本実験条件ではアルキメデス法による測定結果を越える精度を得ることができなかつた。そこで最大泡圧法による測定は表面張力に限定した。

* 昭和 49 年 10 月本会演講大会にて発表 昭和 52 年 7 月 25 日受付 (Received July 25, 1977)

** 大阪大学工学部 工博 (Faculty of Engineering, Osaka University)

*** 大阪大学工学部 (Faculty of Engineering, Osaka University, Yamadakami Suita 565)

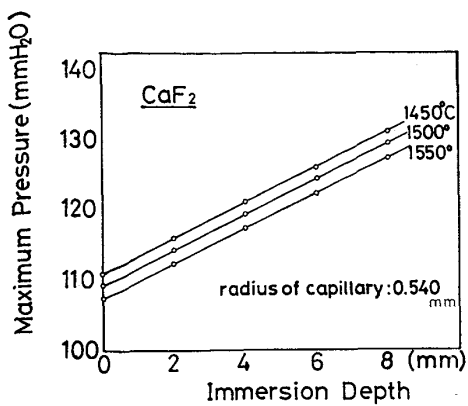


Fig. 1. Relation between immersion depth of platinum capillary in CaF₂ melt and maximum pressure.

融体中に浸漬した毛細管先端で気泡が生成し、脱離するさいに得られる最大圧は圧力変換器を用いて電圧に変え、デジタル電圧計で読み取つた。また圧力変換器の読みは水柱マノメーターを用いて較正した。

CaF₂ 融体について白金毛細管の浸漬深さと気泡の示す最大圧力との関係の一例を Fig. 1 に示す。このように浸漬深さと最大圧の間にはよい直線関係が成立し、この直線の勾配から融体の密度、縦軸との交点から表面張力が計算できる。表面張力の計算には融体中に形成される気泡の形状に関する補正を含む SCHRODINGER の式²⁾ (1) を用いた。

$$\gamma = \frac{r(H)g}{2} \left[1 - \frac{2}{3} \left(\frac{r\rho_s}{H} \right) - \frac{1}{6} \left(\frac{r\rho_s}{H} \right)^2 \right] \dots \dots \dots (1)$$

ここで、 γ -融体の表面張力 (dyn/cm)

r -毛細管の内径 (cm)

H -水柱圧 ($\rho_{H_2O}=1$ としたとき) (cmH₂O)

ρ_s -融体の密度 (g/cm³)

g -重力加速度 (979.8 cm/sec²)

高温における白金毛細管の内径は常温での実測値と白金の線膨脹率²⁾ とから決定した。

2.3 実験装置

本実験に使用した炉は Fig. 2 に示す。発熱体は炭化珪素質のもので 1600°Cまでの昇温が可能である。炉内には脱水および脱酸したアルゴンガスを流した。測温はルツボ底部において Pt6%Rh-Pt30%Rh 热電対によつた。スラグ容器としては Pt-10%Rh 合金のルツボ (内径 45 mm φ × 高さ 50 mm) を使用した。密度測定の場合には炉の上部に浮力測定用の天秤を置き、表面張力測定の場合には Fig. 2 右に示すような気泡生成のための白金毛細管をその上下装置とともに取り付けた。

2.4 試料

測定に用いたフッ化物試料としては入手した化学薬品

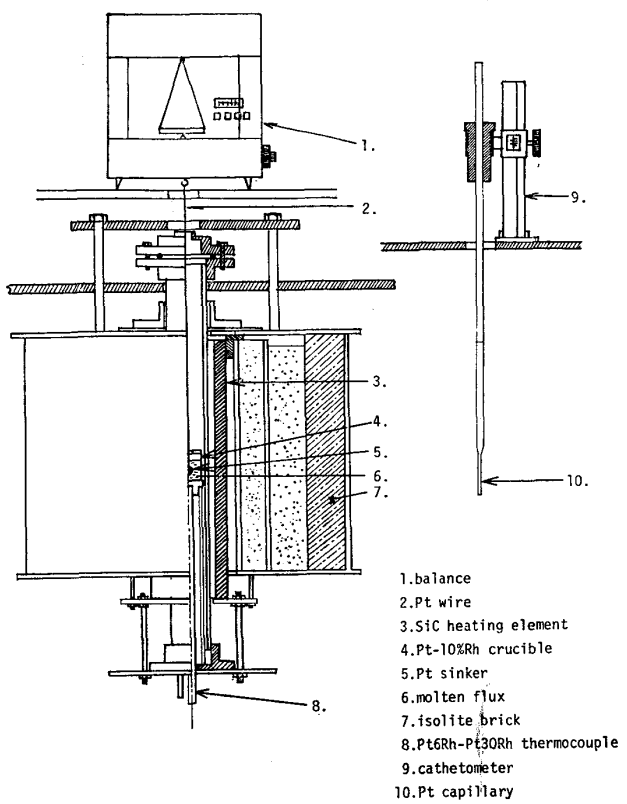


Fig. 2. Furnace for measurement of density and surface tension.

を使用前に加熱脱水して使用した。入手した試料の純度および含有する不純物を Table 1 に示す。

3. 結 果

本実験で得られた LiF, KF, NaF および水晶石 (Na₃AlF₆) の密度の温度による変化を Fig. 3 に示す。また, MgF₂, CaF₂, SrF₂, BaF₂ についての結果を Fig. 4 に示す。なお実験は原則として同じ試料について 2 回以上の測定を繰返した。Fig. 5 には MgF₂ について大小白金球の体積を少しづつ変化させて測定した 3 回の実験点を示している。このように本実験温度範囲内では密度の温度変化は次式で表現できる。

$$\rho = a - bt \dots \dots \dots (2)$$

ここで、 ρ -融体の密度 (g/cc)

t -温度 (°C)

a, b -定数

種々の検討の結果本実験で得られた密度の相対誤差は ±0.2% 以下、体膨脹率 α についての相対誤差は ±15% 以下であると推察された。本実験に用いた試料の純度の範囲内では、試料の純度によって密度の測定値は実験誤差を越えて変化することはなかつた。Fig. 6 にはアルキメデス法によって得られた MgF₂ の密度と最大泡圧法による値とを比較して示す。最大泡圧法による密度値は

Table 1. Purities of fluorides used.

| Fluoride | Source | Cl ⁻ | SO ₄ ²⁻ | Pb | Impurities (max. wt%) | Fe | H F | Purity(%) |
|----------------------------------|-------------|--|-------------------------------|-------|--------------------------|-----|---|--|
| LiF | Wako chem. | 0.01 | 0.03 | 0.003 | 0.002 | | | >97.0 |
| NaF | Wako chem. | 0.01 | 0.03 | 0.003 | 0.003 | 0.1 | Na ₃ SiF ₆ 0.1 | Na ₂ CO ₃ 0.1 |
| KF | Wako chem. | 0.01 | 0.03 | 0.003 | 0.002 | 0.1 | K ₂ SiF 0.3 | K ₂ CO ₃ 0.25 |
| MgF ₂ | Wako chem. | 0.05 | 0.05 | 0.005 | 0.02 | | | >98.0 |
| | Kanto chem. | 0.01 | 0.05 | 0.002 | 0.01 | | | >98.0 |
| CaF ₂ | Kanto chem. | 0.012 | 0.02 | 0.02 | 0.001 | | | >99.0 |
| | Merck | Sr:0.05, Ba:0.01, Na:0.001, Li:5×10 ⁻⁴ , Pb, Cu, Ni, Cd, Mn:10 ⁻⁵ | | | | | | >99.9 |
| SrF ₂ | Merck | Ca:0.02, Pb:5×10 ⁻⁵ , Cu:5×10 ⁻⁵ , Na:5×10 ⁻⁵ , Ni:2×10 ⁻⁵ | | | | | | >99.9 |
| BaF ₂ | Merck | Ca:0.01, Pb:5×10 ⁻⁵ , Na:5×10 ⁻³ , Cu:5×10 ⁻⁵ , Fe:5×10 ⁻⁵ | | | | | | >99.9 |
| Na ₃ AlF ₆ | Natural | Fe ₂ O ₃ :0.1, SO ₃ :0.2, SiO ₂ :0.5, Ig. Loss:0.8, Moisture:0.2 | | | | | | >97 |

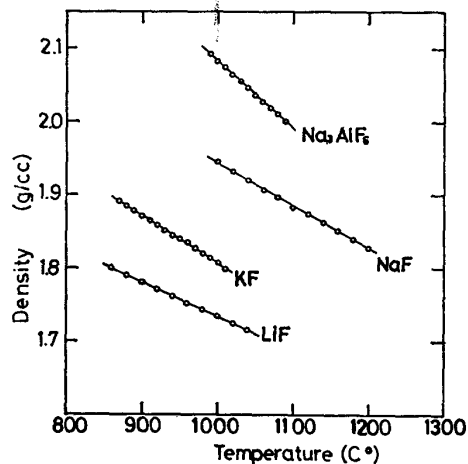


Fig. 3. Densities of alkali metal fluorides and cryolite melts.

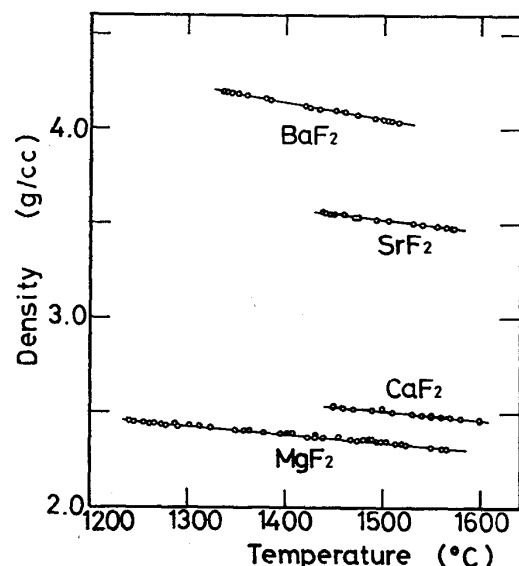


Fig. 4. Densities of alkali earth fluoride melts.

アルキメデス法に比較してわずかに高い値を与える、またその温度依存性を少し大きくなる傾向が見られるが、本実験条件では最大泡圧法による結果はアルキメデス法に比較してバラツキも大きく、本実験条件ではアルキメデス法による結果を採用することが好ましい。Fig. 7 には CaF₂ の密度測定結果を諸家の報告した値と比較して示す。本結果は KIRSHENBAUM ら³⁾ (アルキメデス法) または ZHMOIDIN¹³⁾ (最大泡圧法) の値に近く、本実験における最大泡圧法による密度値はバラツキが大きいために採用しなかつたが、Fig. 7 に示したように諸家による測定値の相違は、測定方法の相違以外の要因に帰すべきだと考えられる。最大泡圧法による密度測定精度を増すために毛細管の内径を更に大きくし、浸漬深さを深くする必

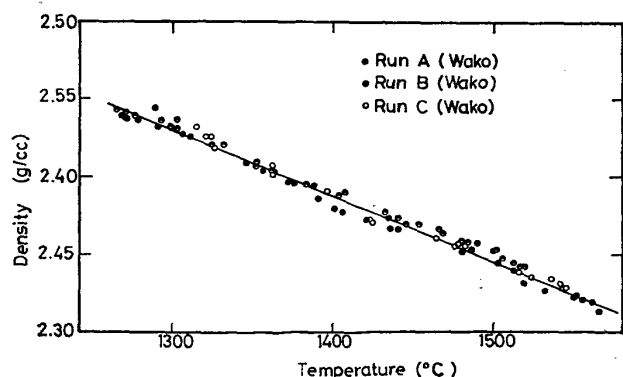


Fig. 5. Density of magnesium fluoride melt by Archimedean method.

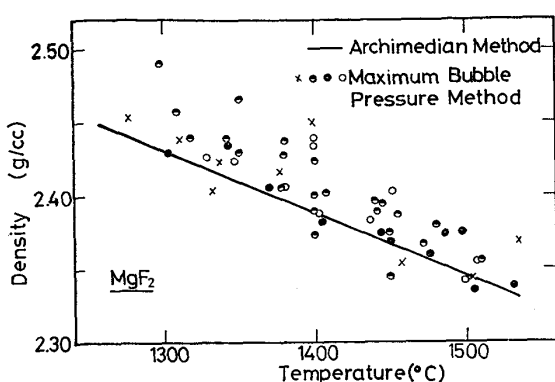


Fig. 6. Comparison of density by Archimedean method with that by maximum bubble pressure method for magnesium fluoride melt.

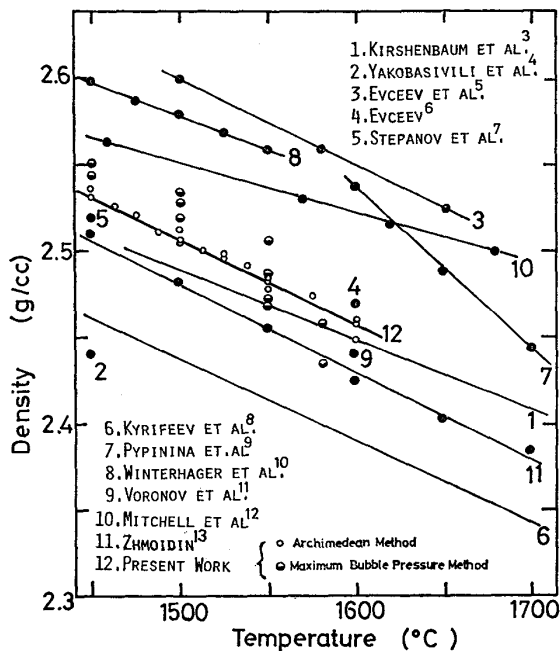


Fig. 7. Comparison of density of calcium fluoride melt reported by many authors.

要があるが、このような改良によつて、アルキメデス法による測定に匹敵する精度が達せられると思われる。

つぎに、本実験で得られたアルカリ金属フッ化物および氷晶石の表面張力の温度による変化を Fig. 8 に、またアルカリ土類金属フッ化物のそれを Fig. 9 に示す。このように表面張力の温度による変化は密度の場合と同様に(2)式で示される。

$$\gamma = a' - b't$$

a' , b' : 定数

t : 温度 (°C)

Fig. 10 には CaF₂ の表面張力が試料の純度および毛細管の直径によつていかに影響されるかを示している。毛細管の半径は 0.529 mm から 0.824 mm の範囲内では

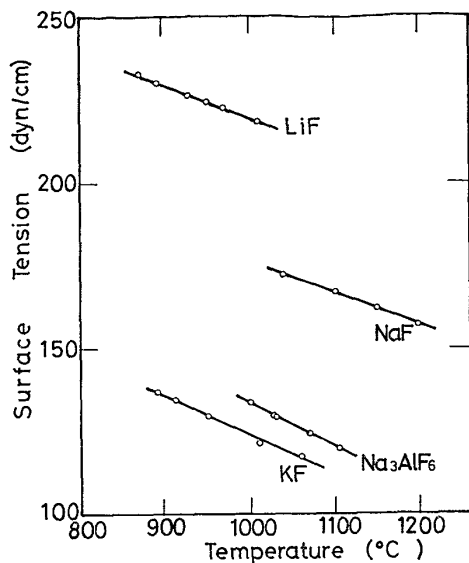


Fig. 8. Surface tensions of alkali metal fluorides and cryolite melts.

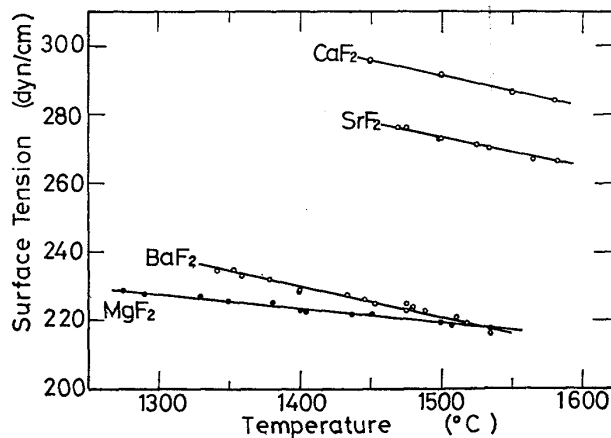


Fig. 9. Surface tensions of alkali earth metal fluoride melts.

実験誤差を越える変化は見られない。これに対して、試料の純度が増加すると表面張力は少し増加する傾向を持つ。本実験により得られた CaF₂ の表面張力値は諸家の値¹⁰⁾¹³⁾¹⁴⁾に比して少し高値を与えた。本実験結果から表面張力の測定値の相対誤差は ±1.0% 以下であると評価した。試料の純度によって表面張力の測定値はこの誤差範囲を越えて変化したので、その場合には純度の高い試料についての測定値を採用した。

Table 2 には本実験で得たフッ化物融体の密度値を諸家によつて報告された値と比較して示し、Table 3 には同じく表面張力についての結果を示す。

4. 考 察

4.1 融点近傍におけるフッ化物融体の構造について

融点近傍におけるフッ化物融体の分子容は Fig. 11 に

Table 2. Properties of molten fluoride (1) Density.

| Fluoride | $\rho = a - b \times 10^{-3} T (\text{g/cc})$ | | Temperature range ($^{\circ}\text{K}$) | Properties at melting point | | | Remarks |
|----------------------------------|---|--------|--|-----------------------------|-----------------------|----------------------|----------|
| | a | b | | $\rho (\text{g/cc})$ | $V_M (\text{cc/mol})$ | $\alpha \times 10^4$ | |
| LiF | 2.325 | 0.464 | 1 133-1 313 | 1.805 | 14.37 | 2.57 | * Ref. 1 |
| | 2.3768 | 0.4902 | 1 149-1 300 | 1.827 | 14.19 | 2.68 | Ref. 2 |
| | 2.266 | 0.414 | | 1.802 | 14.40 | 2.30 | |
| NaF | 2.696 | 0.590 | 1 273-1 473 | 1.953 | 21.50 | 3.02 | * Ref. 1 |
| | 2.655 | 0.560 | 1 270-1 330 | 1.945 | 21.59 | 2.88 | Ref. 2 |
| | 2.721 | 0.618 | | 1.937 | 21.68 | 3.19 | |
| KF | 2.642 | 0.657 | 1 143-1 283 | 1.899 | 30.60 | 3.46 | * Ref. 1 |
| | 2.6464 | 0.615 | 1 142-1 313 | 1.9096 | 30.43 | 3.412 | Ref. 2 |
| | 2.681 | 0.675 | | 1.918 | 30.29 | 3.52 | |
| RbF | 3.935 | 0.967 | 1 093-1 279 | 2.924 | 35.74 | 3.46 | Ref. 3 |
| | 3.995 | 1.035 | | 2.910 | 35.90 | 3.56 | Ref. 2 |
| CsF | 4.811 | 1.234 | 933-1 097 | 3.6484 | 41.63 | 3.512 | Ref. 3 |
| | 4.814 | 1.210 | | 3.633 | 41.81 | 3.33 | Ref. 2 |
| MgF ₂ | 3.068 | 0.406 | 1 550-1 840 | 2.446 | 25.47 | 1.66 | * Ref. 4 |
| | 3.235 | 0.525 | 1 650-2 100 | 2.430 | 25.64 | 2.16 | |
| CaF ₂ | 3.405 | 0.506 | 1 723-1 873 | 2.549 | 30.63 | 1.99 | * Ref. 4 |
| | 3.179 | 0.391 | 1 650-2 300 | 2.518 | 31.01 | 1.55 | |
| SrF ₂ | 4.637 | 0.630 | 1 713-1 853 | 3.583 | 35.06 | 1.76 | * Ref. 4 |
| | 4.784 | 0.751 | 1 750-2 200 | 3.528 | 35.62 | 2.13 | |
| BaF ₂ | 5.620 | 0.885 | 1 600-1 800 | 4.210 | 41.65 | 2.10 | * Ref. 4 |
| | 5.775 | 0.999 | 1 600-2 000 | 4.184 | 41.91 | 2.39 | |
| Na ₃ AlF ₆ | 3.240 | 0.910 | 1 263-1 363 | 2.082 | 100.84 | 4.34 | * Ref. 5 |
| | 3.288 | 0.937 | 1 273-1 353 | 2.095 | 100.21 | 4.45 | |

* Present work

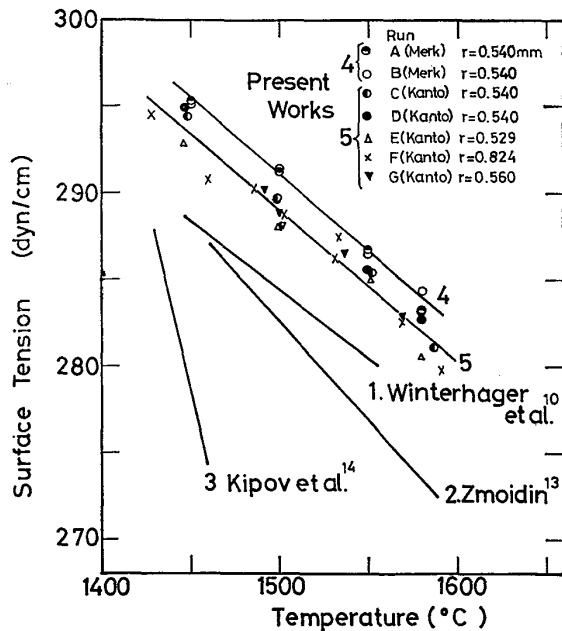


Fig. 10. Surface tension of calcium fluoride reported by many authors.

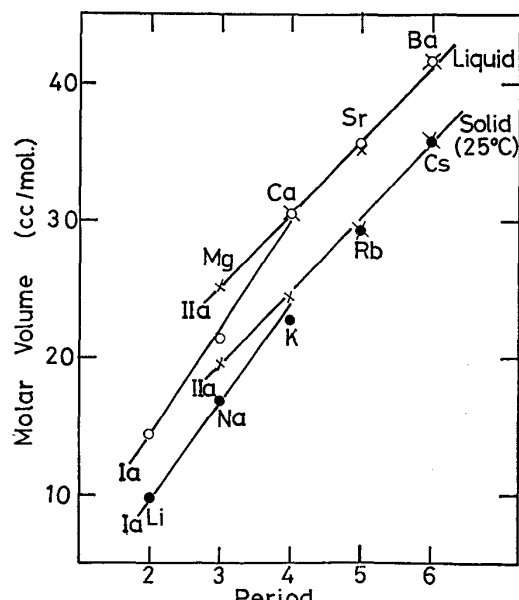


Fig. 11. Molar volumes of Ia and IIa group fluorides for liquid(melting point) and solid(25°C).

Table 3. Properties of molten fluoride (2) surface Tension.

| Fluoride | Melting point (K) | $\sigma = a - b \times 10^2 T$ (dyn/cm) | | Temperature range (K) | Surface tension at melting point (dyn/cm) | Remarks |
|----------------------------------|-------------------|---|-------|------------------------|---|-----------------------|
| | | a | b | | | |
| LiF | 1120 | 342.7 | 9.66 | 1143~1283 1120~1520 | 234.5 | * Ref. 1 Ref. 2 |
| | | 373.2 | 10.93 | | 250.8 | |
| | | 350.2 | 9.86 | | 239.8 | |
| NaF | 1260 | 309.2 | 10.3 | 1323~1473 1270~1410 | 179.4 | * Ref. 1 Ref. 2 |
| | | 289.6 | 8.2 | | 185.6 | |
| | | 304.6 | 9.47 | | 184.5 | |
| KF | 1131 | 279.8 | 12.3 | 1163~1323 1131~1573 | 140.7 | * Ref. 1 Ref. 2 |
| | | 226.1 | 7.5 | | 141.3 | |
| | | 240.1 | 8.45 | | 144.5 | |
| RbF | 1048 | 261.3 | 12.47 | 1076~1160 | 130.6 | Ref. 3 |
| | | 220.9 | 8.87 | | 127.9 | Ref. 2 |
| CsF | 976 | 173.2 | 6.9 | 976~1373 | 105.9 | Ref. 1 |
| | | 192.2 | 8.78 | | 106.5 | Ref. 2 |
| MgF ₂ | 1536 | 295.8 | 4.33 | 1547~1806 1548~1693 | 229.3 335.1 | * Ref. 6 |
| CaF ₂ | 1691 | 440.7 | 8.44 | 1723~1853 1698~1733 | 297.2 290.1 | * Ref. 6 |
| SrF ₂ | 1673 | 424.9 | 8.55 | 1741~1853 1683~1723 | 281.9 250.0 | * Ref. 6 |
| BaF ₂ | 1593 | 379.4 | 9.04 | 1613~1808 1603~1723 | 253.4 240.2 | * Ref. 6 |
| Na ₃ AlF ₆ | 1273 | 304.2 | 13.4 | 1273~1379 | 133.6 | * |
| | | 279.0 | 12.8 | 1273~1353 | 116.0 | Ref. 1 |

* Present work

Table 4. Mean hole radius in molten fluorides at melting joint.

| Fluoride | Melting point (K) | Surface tension (dyn/cm) | Mean hole radius (Å) | Ionic radius | |
|----------------------------------|-------------------|--------------------------|----------------------|---|-------|
| | | | | Cation | Anion |
| LiF | 1120 | 234.5 | 1.31 | 0.60 | 1.36 |
| NaF | 1260 | 179.4 | 1.59 | 0.95 | 1.36 |
| KF | 1131 | 140.7 | 1.70 | 1.33 | 1.36 |
| RbF | 1048 | 129.3 | 1.71 | 1.48 | 1.36 |
| CsF | 976 | 106.2 | 1.82 | 1.69 | 1.36 |
| MgF ₂ | 1536 | 229.3 | 1.55 | 0.65 | 1.36 |
| CaF ₂ | 1691 | 297.2 | 1.43 | 0.99 | 1.36 |
| SrF ₂ | 1673 | 281.9 | 1.46 | 1.13 | 1.36 |
| BaF ₂ | 1593 | 253.4 | 1.56 | 1.35 | 1.36 |
| Na ₃ AlF ₆ | 1273 | 133.6 | 1.85 | Na ⁺ 0.95 Al ³⁺ 0.50 | 1.36 |

示すように周期律によつて規則的に変化し、第4周期(Ca, K)以上では Ia 族(アルカリ金属)フッ化物と IIa 族(アルカリ土類金属)フッ化物の分子容は同一周期のものではほぼ等しい値を取る。この傾向は固体のフッ化物

における場合と類似していく、溶融状態においても固体と類似した構造を取ることを推察させる。

FÜRTH¹⁹)によれば融体中に存在する空孔の平均半径 $\langle r \rangle$ および平均表面積 $\langle f \rangle$ は次のように表面張力の

Table 5. Cation-anion distance and coordinations in molten fluorides.

| Fluoride | Cation-Anion distance (Å) | | Molar volume (cc/mol) | Neighbours | | |
|------------------|---------------------------|--------------------|--------------------------|------------|----------------|-------------------------|
| | X-ray diffraction | Sum of ionic radii | | Solid | Liquid (X-ray) | Liquid (mol. volume) |
| LiF | 1.95 | 1.96 | 14.37 | 6 | 3.7 | 3.73 |
| NaF | 2.30 | 2.31 | 21.50 | 6 | 4.1 | 4.09 |
| KF | 2.70 | 2.69 | 30.60 | 6 | 4.9 | 4.68 |
| RbF | — | 2.81 | 35.74 | 6 | — | 4.48 |
| CsF | — | 3.04 | 41.62 | 6 | — | 4.78 |
| MgF ₂ | — | 2.01 | 25.47 | 6 | — | 3.58 |
| CaF ₂ | 2.35 | 2.35 | 30.63 | 8 | 6.8 | 6.29 |
| SrF ₂ | — | 2.49 | 35.06 | 8 | — | 6.53 |
| BaF ₂ | — | 2.71 | 41.65 | 8 | — | 7.09 |

関数で与えられる。

$$\langle r \rangle = 0.51(kT/\gamma)^{1/2} \quad \dots \dots \dots \quad (3)$$

$$\langle f \rangle = 3.5 kT/\gamma \quad \dots \dots \dots \quad (4)$$

ここで, k -ボルツマン定数, T -絶対温度

γ -表面張力

そこで(3)式で得られる空孔の平均半径 $\langle r \rangle$ から計算される空孔の平均表面積と(4)式による空孔の平均表面積との比は次式で示すように約 1.1 程度である。

$$\langle f \rangle / 4\pi \langle r \rangle^2 = 1.07 \quad \dots \dots \dots \quad (5)$$

このことは融体中に存在する空孔はほぼ同一の大きさを有し, その半径は $\langle r \rangle$ に相当することを示している。

Table 4 には(3)式によって計算される融点近傍における平均空孔半径 $\langle r \rangle$ の値を示す。このように融体中に存在する空孔の大きさは陽イオンまたは陰イオンの大きさに見合う寸法を有していると考えられる。そこで、融体は固体と類似した結晶構造を保持し, 格子点のいくつかが空孔になつてゐる状態であると考えた。LEVY²⁰⁾は融点近傍の液体のX線, 中性子線回折の結果からアルカリハライド融体中の陽イオン-陰イオン間距離および陽イオンのまわりの最近接イオン数を求めた(Table 5, 第 2, 6, 欄参照)。その結果によれば融点近傍で融体中における異種イオン間距離は融点近傍の固体中における値よりも若干短かく, PAULING²¹⁾による 6 配位のイオン半径和(Table 5, 第 3 欄)にほぼ等しい。そこで融体中における異種イオン間距離として PAULING のイオン半径和を仮定し, 本実験で得た分子容を用いて, 陽イオンのまわりの最近接陰イオンの数を計算した。Table 5 の第 7 欄にはその計算結果を示す。分子容から算出した最近接イオンの数は LEVY による X 線回折の結果と非常によい一致を示す。その結果から固体で NaCl 型結晶構造(酸位数 6)を取るアルカリ金属フッ化物では溶融することによつて 32% (LiF) から 20% (CsF) まで配

位数が減少することとなる。固体ではルチル型構造(配位数 6)を取る MgF₂ は融体において約 40% だけ配位数は低下する。CaF₂, SrF₂, BaF₂ など他のアルカリ土類金属フッ化物は固体において萤石型の結晶構造(配位数 8)を取り液体においては CaF₂ から BaF₂ まで配位数を減じている。このようなフッ化物融体は溶融状態においても, 固体と類似構造を有し, 格子点の一部が欠損しているものと考えられる。

4.2 融体の性質と異種イオン間に働く静電的引力との関係

固体イオン結晶においては結晶内に働く力は主として静電気力であると考えられる。そこで融体の示す性質を(6)式で示す異種イオン間に働く静電気力をパラメータとして整理した。

$$I = Z / (r_c + r_a)^2 \quad \dots \dots \dots \quad (6)$$

r_c, r_a : 陽イオンおよび陰イオン半径

Z : 陽イオンの電荷数

Fig. 12 には融点近傍におけるフッ化物融体の表面張力と異種イオン間に働く静電的引力 I との関係を示す。このように MgF₂ の場合を除けば表面張力は I の増加につれて増加し, 上記の観点を支持している。MgF₂ の場合フッ素イオンに対してマグネシウムイオンの寸法は小さく ($r_F^- = 1.36, r_{Mg^{2+}} = 0.65 \text{ \AA}$)²¹⁾, フッ素イオンによるマグネシウムイオンの遮蔽効果が関与していると思われる。Fig. 13 には表面張力の温度係数 ($\partial r / \partial T$) および体膨脹率 α と静電的引力との関係を示す。このように融体中に働く力を静電的引力として, 融体の性質は整理できる。

4.3 フッ化物融体への Scaled Particle Theory の適用

REISS と MAYER²²⁾ らはアルカリハロゲン融体について Scaled Particle Theory を提案し, その適用性について論じた。本研究結果を用いて, フッ化物融体への

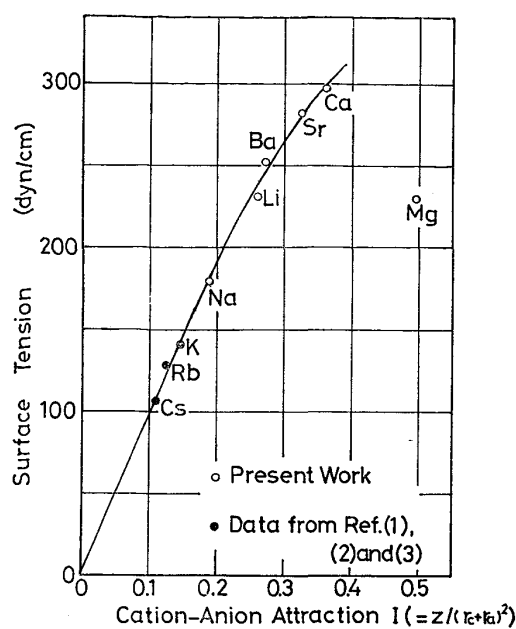


Fig. 12. Relation between cation-anion attraction and surface tension for fluorides at melting point.

Scaled Particle Theory の適用を試みた。

Scaled Particle Theory によれば融体の状態方程式は(7)式で与えられる。

$$\frac{P}{R} \frac{V}{T} = \frac{1 + \gamma + \gamma^2}{(1 - \gamma)^3} \quad \dots \dots \dots (7)$$

ここで P は圧力, V は分子容, R , T はガス定数と絶対温度である。そして γ は融体の充填率で packing fraction と呼ばれ(8)式で与えられる。

$$\gamma = \pi a^3 n / 6V \quad \dots \dots \dots (8)$$

ここで, n はアボガドロ数, a は Scaled Particle の直径である。一方 MAYER²³⁾によれば融体の表面張力は(9)式によつて示される。

$$\gamma = \frac{aRT}{4V} \cdot \frac{2 + \gamma}{(1 - \gamma)^2} \quad \dots \dots \dots (9)$$

Table 6. The values of scaled particle diameter, a , packing fraction, γ , isothermal compressibility, β , and thermal expansivity, α .

| Fuloride | Melting point (K) | Molar volume (cc/mol) | Surface tension (dyn/cm) | Scaled particle diameter a (Å) | Packing fraction | $\beta \times 10^{12}$ (cm ² /dyn) | $\alpha \times 10^4 (1/T \text{ K})$ | |
|------------------|-------------------|-----------------------|--------------------------|----------------------------------|------------------|---|--------------------------------------|------------------------|
| | | | | | | | $\alpha_{\text{cal.}}$ | $\alpha_{\text{exp.}}$ |
| LiF | 1120 | 14.37 | 234.5 | 2.535 | 0.3574 | 8.9 | 2.90 | 2.57 |
| NaF | 1260 | 21.50 | 179.4 | 2.826 | 0.3306 | 14.9 | 2.77 | 3.02 |
| K F | 1131 | 30.60 | 140.7 | 3.250 | 0.3537 | 19.5 | 2.90 | 3.46 |
| RbF | 1048 | 35.75 | 129.8 | 3.493 | 0.3760 | 20.3 | 2.94 | 3.46 |
| CsF | 976 | 41.62 | 106.2 | 3.564 | 0.3696 | 22.3 | 3.22 | 3.51 |
| MgF ₂ | 1536 | 25.47 | 229.3 | 3.095 | 0.3670 | 9.5 | 2.06 | 1.66 |
| CaF ₂ | 1691 | 30.63 | 297.2 | 3.469 | 0.4297 | 6.7 | 1.57 | 1.99 |
| SrF ₂ | 1673 | 35.06 | 281.9 | 3.656 | 0.4395 | 7.1 | 1.55 | 1.76 |
| BaF ₂ | 1593 | 41.65 | 253.4 | 3.903 | 0.4518 | 7.8 | 1.57 | 2.10 |

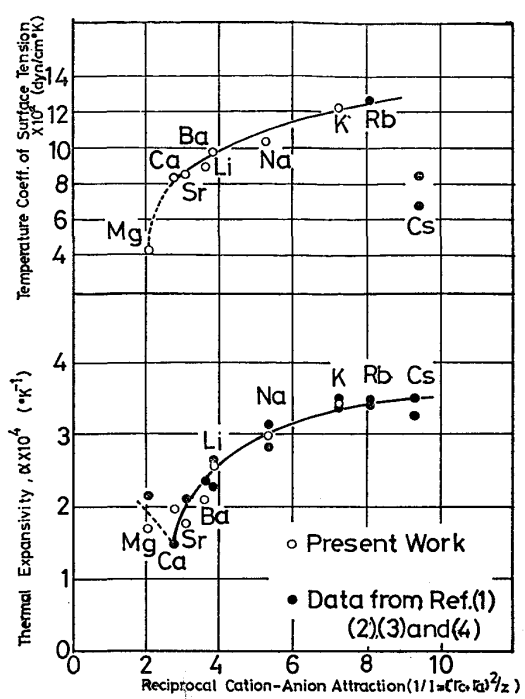


Fig. 13. Relation between temperature coefficient of surface tension, thermal expansivity and reciprocal cation-anion attraction at melting point.

したがつて packing fraction, γ , 融体の分子容, V , および Scaled Particle の直径 a を決めれば表面張力の計算は可能となる。MAYER ら²³⁾は Scaled Particle の直径 a として気体分子の結合距離を選んだ。しかし、この値の選択によつて(9)式による表面張力の計算値は大きく変化する。そこで本研究では実験より得た融体の分子容 V と表面張力 γ の値を用いて(8), (9)式から γ および a の値を決定した。これら値を用いて等温圧縮率 β と体膨脹率 α を計算した。

融体の等温圧縮率 β と体膨脹率 α は状態方程式(7)を用いて次のように導出される。

Table 7. Comparison of experimental and theoretical value of surface energy at 0K.

| | LiF(1000) | CaF ₂ (111) | BaF ₂ (111) |
|--|-----------|------------------------|------------------------|
| This work (Extrapolated from liquid to 0K) | 342.7 | 440.7 | 397.4 |
| GILMAN (Cleavage method) | 340 | 450 | 280 |
| GILMAN (Estimated from elastic modulus) | 370 | 540 | 350 |
| BONN, STERN (Theoretical) | 420 | — | — |
| GLAUBERMAN | 360 | — | — |

$$\alpha = \frac{1}{V} \left(\frac{\partial V}{\partial T} \right)_p = \frac{1}{T} \frac{(1-y^3)}{(1+2y)^2} \quad \dots \dots \dots (10)$$

$$\beta = -\frac{1}{V} \left(\frac{\partial V}{\partial T} \right)_T = \frac{V}{R T} \frac{(1-y)^4}{(1+2y)^2} \quad \dots \dots \dots (11)$$

(10) および (11) 式で計算される α および β の値を Table 6 に示す。体膨脹率 α について本実験で得た値を Table 6, 第 10 欄に示すが、計算値との一致は非常に良好であるように思われる。フッ化物融体の等温圧縮率についてはまだ報告されていないが、LiF, NaF, KF については音速および比熱の測定があり、計算によつて求めることができる (Appendix 参照)。音速のデータを用いて計算された LiF, NaF, KF の融点近傍における等温圧縮率 β の値はそれぞれ $9.3, 13.3, 18.6 \times 10^{-12} \text{ cm}^2/\text{dyn}$ である。これらの値は Scaled Particle Theory を用いて得られた Table 6 に示した値と非常によい一致を示している。したがつてフッ化物融体への Scaled Particle Theory の適用は非常に有効であると思われる。

4.4 融体の表面張力と分子容について

固体イオン結晶において表面エネルギーと分子容とは関連があることが知られている。また GILMAN ら²⁴⁾によつて測定された 2, 3 の固体フッ化物の劈開面の表面エネルギーは本研究で得られた融体の表面張力の 0K への外挿値と Table 7 に示すようによい一致を示す。

そこで本実験で得られた融体の分子容から計算される単位面積当たりの分子の数 ($k/V^{2/3}$) (k : 構造因子) と表面張力との関係をその融点近傍の融体について示すと Fig. 14 のように 1 つの線上に整理される。この場合、融体の表面は固体の場合と同様に表面エネルギーが最小の面を最稠密面(劈開面)であるとすれば、アルカリ金属フッ化物では(100)面、MgF₂ では(110)面、CaF₂, SrF₂, BaF₂ では(111)面である。そして比例定数(構造因子) k はアルカリ金属フッ化物(NaCl 型)で 1 とすれば、MgF₂ (ルチル型)では $\sqrt{1+\sqrt{2}}$, CaF₂, SrF₂, BaF₂ (萤石型) では $4/\sqrt{3}$ となる。この結果は、融体の表面は固体結晶における劈開面と類似した構造を取ることを示している。

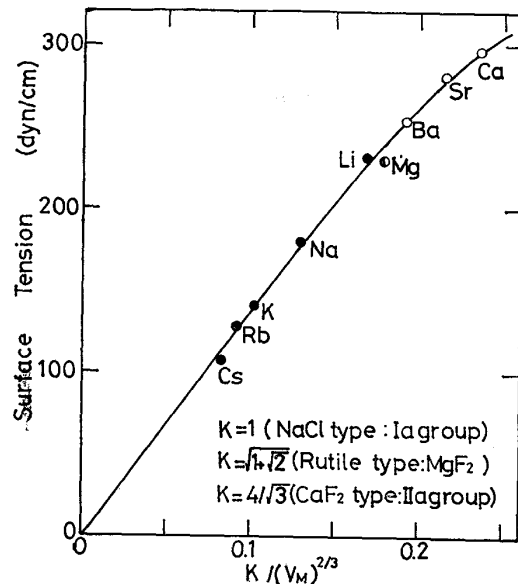


Fig. 14. Relation between surface tension and molar volume for fluoride melts at melting point.

5. 結論

アルカリおよびアルカリ土類金属フッ化物の密度と表面張力の測定を行ない以下に示す結果を得た。

(1) フッ化物融体の表面張力、体膨脹係数および表面張力の温度係数は異種イオン間に働く静電的引力をパラメーターとして整理できる。

(2) 密度、表面張力の実測値を用いて Scaled Particle Theory のフッ化物融体への適用性を検討した。Scaled Particle Theory によって計算される体膨脹係数 α および等温圧縮率 β の値は実測値とよい一致を示し、この理論の適用性がよいことが確認された。

(3) 表面張力と融体の分子容との関連から、融体の表面は固体結晶の劈開面と類似した構造を持つことが推察された。

Appendix : LiF, NaF, KF の断熱圧縮率 β_s および等温圧縮率 β_T の計算

| フッ化物 | 温度範囲 (°C) | 音速 (m/sec) |
|------|-------------|---------------|
| LiF | 890~1 040 | 3 566~1.205 t |
| NaF | 1 025~1 160 | 3 180~1.100 t |
| KF | 880~1 015 | 2 544~0.850 t |

BLANC²⁵によれば LiF, NaF, KF 融体中の音速は前式となる.

断熱圧縮率 β_s , 等温比熱と等容比熱との比 γ および等温圧縮率 β_T はそれぞれ次式によつて与えられる.

$$\gamma = (C_p/G_v) = 1 + \frac{u^2 \alpha^2 T_m M}{G_p} \dots \dots \dots \quad (2)$$

LiF, NaF, KF の等温圧縮率

| フッ化物 | 融点 | 密度 | 音速 | 分子量 | $\alpha \times 10^4$ | C_p | γ | C_v | 圧縮率 $\beta \times 10^{12} (\text{cm}^2/\text{dyn})$ | | |
|------|------|--------|---------|-------|----------------------|-------------|----------|-------------|---|---------------|---------------|
| | (K) | (g/cc) | (m/sec) | | (1/K) | (cal/K mol) | | (cal/K mol) | $\beta_S (*)$ | $\beta_T (*)$ | $\beta_T (*)$ |
| LiF | 1121 | 1.805 | 2534 | 25.94 | 2.57 | 15.50 | 1.080 | 14.36 | 8.62 | 9.31 | 8.9 |
| NaF | 1268 | 1.953 | 2086 | 41.99 | 3.02 | 16.40 | 1.129 | 14.53 | 11.76 | 13.28 | 14.9 |
| KF | 1131 | 1.899 | 1815 | 58.10 | 3.46 | 16.00 | 1.162 | 13.77 | 15.99 | 18.58 | 19.5 |

(*) 音速より計算 (*) Scaled Particle Theory による計算

本研究を行なうに当たり研究費の一部は鉄鋼基礎共同研究特殊精鍊部会の援助を受けたことを付記するとともに討論ならびに有益なコメントをたまわつた同部会第4分科会委員各位に感謝します。

文 献

- 本研究を行なうに当たり研究費の一部は鉄鋼基礎共同研究特殊精鍊部会の援助を受けたことを付記するとともに論ならびに有益なコメントをたまわつた同部会第4分科会委員各位に感謝します。

文 献

 - 1) Y. S. TOULOUKIAN, edited: "Thermophysical Properties of High temp. Solid Materials" Vol 1(1967), p. 778 [Macmillan]
 - 2) G. SCHRÖDINGR: Annalen der Phisik, 46(1915) 4, p. 413
 - 3) A. D. KIRSHENBAUM, J. A. CAHILL, and C. S. STOKES: J. Inorg. Nucl. Chem., 15(1960), p. 297
 - 4) S. B. YAKOBASIBILI and I. I. FRUMIN: Avtomat Svarka, (1962) 11, p. 41
 - 5) P. P. EVSEEV and A. F. FILIPPOV: Izv. VUZov, Cher. Met., (1965) 3, p. 70
 - 6) P. P. EVSEEV: Avtomat. Svarka, (1967) 11, p. 42
 - 7) V. V. STEPANOV and B. E. LOMAEV: Avtomat. Svarka, (1967) 2, p. 39
 - 8) V. K. KYLIFEER, V. I. PANCHSHNY, and G. P. Stanolevich: Izv. VUZov, Tsvet. Met., (1968) 2, p. 116
 - 9) S. M. PUPYNINA, S. E. VOLKOV, and V. S. PETCHKOV: Sb. Teoliya Metallrg. Prosessov, [Metallurgizdat] (1967), p. 47
 - 10) H. WINTERHAGER, R. KAMMEL, and A. GAD: Forshungs berichte des Landes Norderhein-Westfalen, (1970), Nr. 2115
 - 11) V. A. VOLONOV and B. M. NIKITIN: Izv. Akad. Nauk SSSR. Metally, (1971) 4, p. 109
 - 12) A. MITCHELL and S. JOSHI: Met. Trans., 3 (1972) 8, p. 2306
 - 13) G. I. ZHMOIDIN: Zhur. Fiz. Khim., 49(1975), p. 1486
 - 14) I. G. KIPOV and S. N. ZADUMKNIN: Zhur. Fiz. Khim., (1972) 7, p. 1852
 - 15) G. I. JANZ: "Molten Salt Handbook" (1967) [Academic Press]
 - 16) M. V. SMIRNOV, V. P. STEPANOV, V. A. KHO-KHLOV, Yu. A. SHUMOV, and A. A. ANTONOV: Zhur. Fiz. Khim., 48 (1974) 3, p. 467
 - 17) F. M. JAGER: Z. Anorg. Chem., 101 (1917), p. 1
 - 18) J. D. EDWARDS, C. S. TAYLOR, L. A. COSGROVE, and A. S. RUSSELL: J. Electrochem. Soc., 100 (1953), p. 508
 - 19) R. FÜRTH: Proc. Cambridge Phil. Soc., 37 (1941), p. 252
 - 20) H. A. LEVY and M. D. DANFORD: "Molten Salts Chemistry" edited by M. Blander [Interscience publishers] (1964), p. 109
 - 21) L. PAULING: "Nature of Chemical Bond" [Cornell Univ. Press], (1960)
 - 22) H. REISS: Adv. Chem. Phys., 9 (1965), p. 1
 - 23) H. REISS and S. W. MAYER: J. Chem. Phys., 34 (1961) 6, p. 2001, S. W. MAYER: J. Phys. Chem. 67 (1963), p. 2160
 - 24) J. I. GILMAN: J. Appl. Phys., 31(1960), p. 2208
 - 25) M. BLANC: Compt. Rend., 254(1962), p. 2532, p. 3131
 - 26) A. S. DWORKIN and M. A. BREDIG: J. Phys. Chem., 64(1960), p. 269